



Filtros Digitais

Vicente Sousa
GppCom/DCO/UFRN

Natal, 19/10/2016

Universidade Federal do Rio Grande do Norte (UFRN)

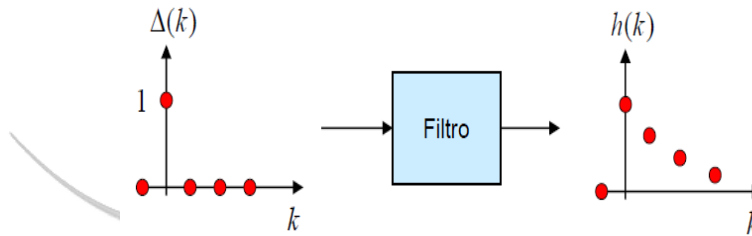
Objetivos

- Explicar algumas propriedades importantes usadas em projetos de filtros digitais;
- Conceituar Filtro Digital;
- Diferenciar filtros FIR e IIR;
- Discutir sobre ferramentas utilizadas para projetar filtros digitais.

Grupo de Pesquisa em Prototipagem Rápida de Soluções para Comunicação.

Resposta ao Impulso

$$\Delta(k) = \begin{cases} 1 & \text{para } k = 0 \\ 0 & \text{para } k \neq 0 \end{cases} \quad \leftarrow \text{Função Impulso Digital}$$



Grupo de Pesquisa em Prototipagem Rápida de Soluções para Comunicação.

© Prof. Dr. Vicente Angelo de Sousa Junior @ GppCom - UFRN
vicente.sousa@ct.ufrn.br

3

Causalidade

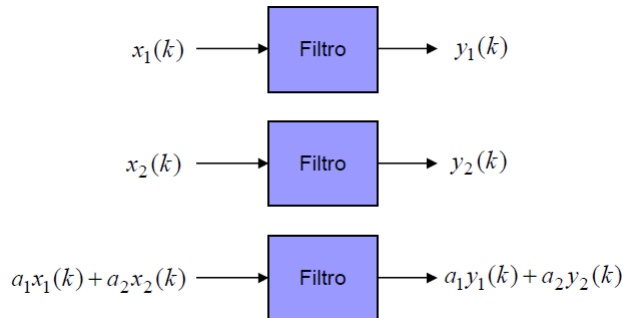
$$y_1(k) = f[x_1(k), x_1(k-1), x_1(k-2) \dots x_1(k-m)] \quad m > 0$$

- Realizável em tempo real;
- Em um dado tempo m , produz uma saída que é dependente somente das entradas presentes e passadas ($k \leq m$) e das saídas passadas ($k < m$);
- Não depende de valores futuros de entrada e saída. Em um sistema prático, a saída não pode se antecipar.

© Prof. Dr. Vicente Angelo de Sousa Junior @ GppCom - UFRN
vicente.sousa@ct.ufrn.br

4

Linearidade



- **Atende o princípio da superposição:** a resposta do sistema da combinação linear de duas entradas x_1 e x_2 é a combinação linear de suas saídas y_1 e y_2 , quando a entrada é aplicada individualmente;
- **Para um sistema linear ser causal é necessário e suficiente que a resposta ao impulso $h(t)$ seja zero para $t < 0$.**

© Prof. Dr. Vicente Angelo de Sousa Junior @ GppCom - UFRN
vicente.sousa@ct.ufrn.br

5

Estabilidade

- Um sistema é **BIBO estável** se para qualquer entrada limitada em amplitude, a saída também for limitada em amplitude, independente do estado interno do sistema;
 - BIBO: bounded input – bounded output;
 - Do ponto de vista prático, sistema instáveis não tem utilidade.
- **Determinação da BIBO estabilidade:** está associada à localização dos pólos (raízes da equação característica da função de transferência do sistema). Se todos os pólos estiverem no semiplano esquerdo, então o sistema é BIBO-estável.

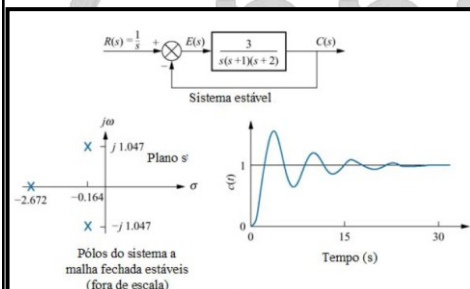
Grupo de Pesquisa em Prototipagem Rápida de Soluções para Comunicação.

© Prof. Dr. Vicente Angelo de Sousa Junior @ GppCom - UFRN
vicente.sousa@ct.ufrn.br

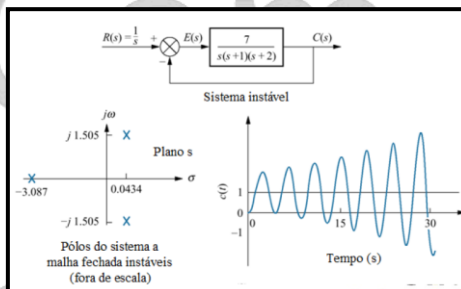
6

Estabilidade

Sistema estável



Sistema instável



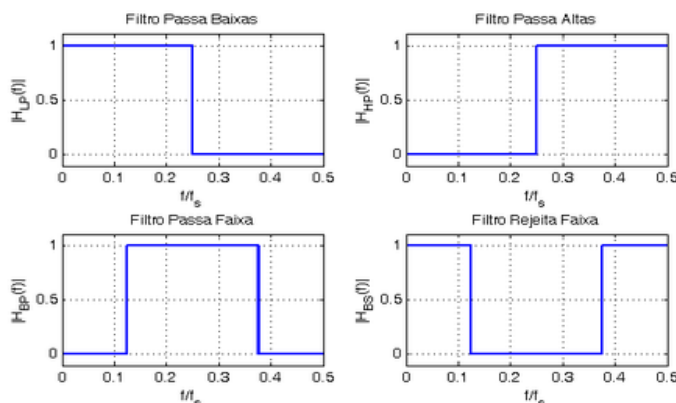
- Enquanto as oscilações nos sistemas estáveis diminuem, nos instáveis elas aumentam sem limite;
- A presença de pólos no semiplano direito vai fazer com que a resposta aumente exponencialmente, de forma monotônica ou oscilatória.

© Prof. Dr. Vicente Angelo de Sousa Junior @ GppCom - UFRN
vicente.sousa@ct.ufrn.br

7

Filtros ideais

- **Ganho unitário** (deixa passar o sinal sem distorção) em uma faixa de frequências e **ganho zero** (impede a passagem do sinal) em outras.



© Prof. Dr. Vicente Angelo de Sousa Junior @ GppCom - UFRN
vicente.sousa@ct.ufrn.br

8

Filtros ideais

- Filtros digitais são descritos pela seguinte equação

entrada atual e de valores passados de entrada

valores passados da saída

$$y(n) = \sum_{k=0}^N b[k]x[n-k] - \sum_{k=1}^M a[k]y[n-k]$$

Saída do filtro

pesos

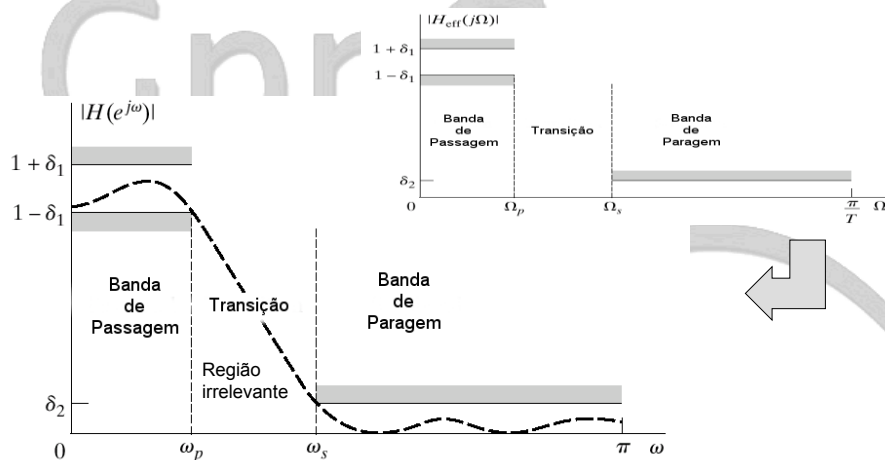
Soma pesada da entrada atual e de valores passados de entrada e saída!!!

Grupo de Pesquisa em Prototipagem Rápida de Soluções para Comunicação.

© Prof. Dr. Vicente Angelo de Sousa Junior @ GppCom - UFRN
vicente.sousa@ct.ufrn.br

9

Filtros Reais

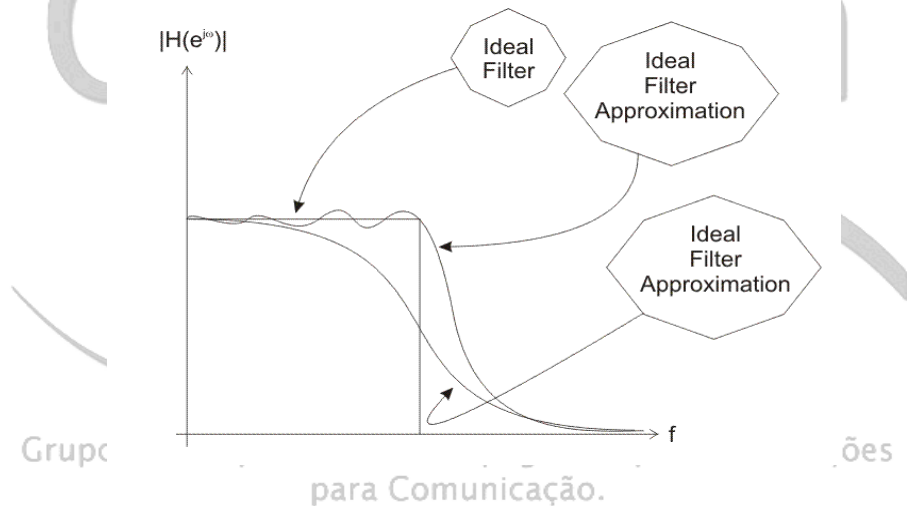


Grupo de Pesquisa em Prototipagem Rápida de Soluções para Comunicação.

© Prof. Dr. Vicente Angelo de Sousa Junior @ GppCom - UFRN
vicente.sousa@ct.ufrn.br

10

Filtros Ideais x Reais



© Prof. Dr. Vicente Angelo de Sousa Junior @ GppCom - UFRN
vicente.sousa@ct.ufrn.br

11

Ordem dos filtros (1/2)

- A **ordem de um filtro digital** é o número de contribuições previamente armazenadas na memória do processador utilizadas para calcular a próxima componente. Todos os filtros digitais podem ser escritos da seguinte maneira:

Ordem zero	$y_n = a_0 x_n$
Primeira ordem	$y_n = a_0 x_n + a_1 x_{n-1}$
Segunda ordem	$y_n = a_0 x_n + a_1 x_{n-1} + a_2 x_{n-2}$

- Taps** ou **coeficientes do filtro (filtros FIR)**: $a_0, a_1, a_2, \dots, a_n$;
- Ordem do filtro** = número de *taps* - 1.

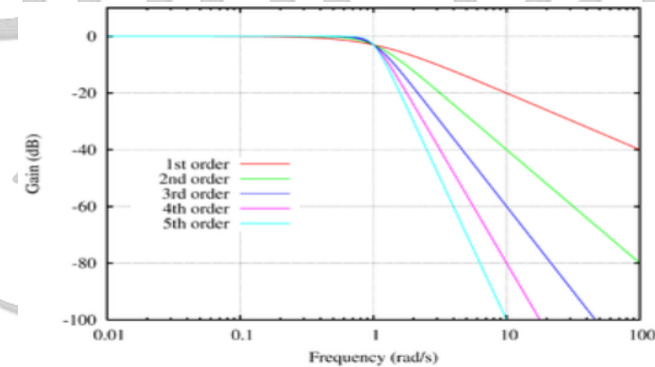
Grupo de Pesquisa em Prototipagem Rápida de Soluções para Comunicação.

© Prof. Dr. Vicente Angelo de Sousa Junior @ GppCom - UFRN
vicente.sousa@ct.ufrn.br

12

Ordem dos filtros (2/2)

- Com o aumento da ordem, a resposta do filtro tende para a resposta ideal.



Resposta em frequência de filtros Butterworth em diferentes ordens.

© Prof. Dr. Vicente Angelo de Sousa Junior @ GppCom - UFRN
vicente.sousa@ct.ufrn.br

13

Vantagens dos filtros digitais

- Reutilizável;
- Podem ser testados e implementados em um computador;
- São extremamente estáveis, obtendo resultados mais precisos;
- O desempenho dos filtros digitais não depende dos componentes do circuito, ou seja, sua resposta não é influenciada por mudanças ambientais.

Grupo de Pesquisa em Prototipagem Rápida de Soluções para Comunicação.

© Prof. Dr. Vicente Angelo de Sousa Junior @ GppCom - UFRN
vicente.sousa@ct.ufrn.br

14

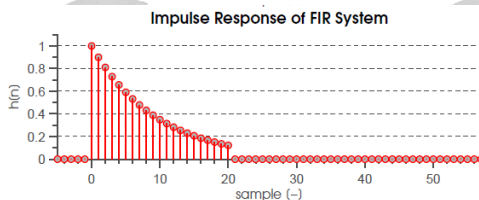
Tipos de filtros digitais

- Filtros digitais podem ser divididos em dois tipos:
 - **Filtros FIR:** Finite Impulsional Response
 - São sempre estáveis;
 - Permitem facilmente fase linear: nenhuma distorção de fase é produzida no sinal filtrado (importante para processamento de áudio e imagem, biomedicina e transmissão de dados);
 - Podem necessitar de ordem elevada;
 - **Filtros IIR:** Infinite Impulsional Response
 - Menos taps para atender as mesmas especificações de um filtro FIR (menor peso computacional);
 - Filtros analógicos podem ser facilmente convertidos em filtros digitais IIR equivalentes;

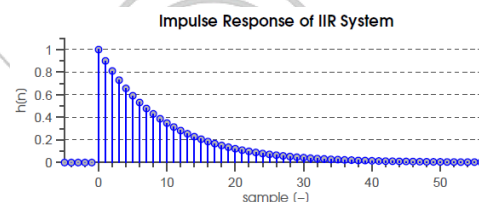
Grupo de Pesquisa em Prototipagem Rápida de Soluções para Comunicação.

15

Tipos de filtros digitais



$$y[n] = \sum_{k=0}^N h[k]x[n-k]$$



$$y[n] = \sum_{k=0}^{\infty} h[k]x[n-k]$$

Grupo de Pesquisa em Prototipagem Rápida de Soluções para Comunicação.

16

Tipos de filtros digitais

- De modo geral pode-se usar as indicações abaixo:
 - Utilize um filtro FIR:
 - quando o número de coeficientes não é grande (pois a estabilidade da estrutura FIR é garantida);
 - quando a distorção de fase desejada for pequena;
 - Utilizar filtro IIR:
 - sempre que for importante uma resposta bem seletiva no domínio da frequência
 - quando for necessário realizar a conversão das especificações de um filtro analógico;

17

Filtros FIR (Finite Impulsional Response)

- É completamente caracterizado por seus coeficientes;
- Possui memória finita (transitório tem duração limitada);
- São sempre BIBO estáveis;
- **Representado matematicamente como:**

$$y[n] = \sum_{k=0}^N h[k]x[n-k] \quad \text{sendo } N \text{ a ordem do filtro.}$$

- Sua função de transferência é:

$$Y(z) = \sum_{k=0}^N h[k]X(z)z^{-k} \Rightarrow H(z) = \frac{Y(z)}{X(z)} = \sum_{k=0}^N h[k]z^{-k}$$

$$H(z) = \sum_{k=0}^N h[k]z^{-k} = \frac{\sum_{k=0}^N h[k]z^{N-k}}{z^N}$$

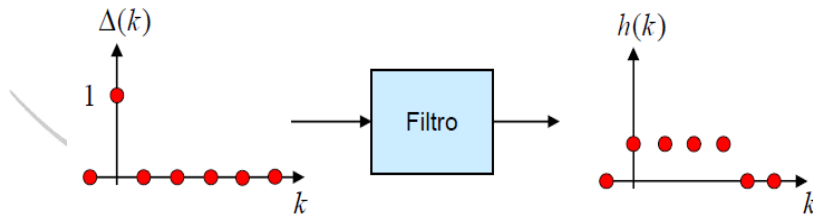
Polinômio com potências positivas.

N polos com valor zero

18

Ilustração de um filtro FIR

$$h(k) = \begin{cases} 1/4 & \text{para } k = 0, 1, 2, 3 \\ 0 & \text{para } k > 3 \end{cases}$$



Grupo de Pesquisa em Prototipagem Rápida de Soluções para Comunicação.

© Prof. Dr. Vicente Angelo de Sousa Junior @ GppCom - UFRN
vicente.sousa@ct.ufrn.br

19

Filtros FIR

- **Exemplo:** Filtro Média Móvel.

$$h(k) = \frac{1}{4} \Delta(k) + \frac{1}{4} \Delta(k-1) + \frac{1}{4} \Delta(k-2) + \frac{1}{4} \Delta(k-3)$$

$$H(z) = \frac{1}{4} + \frac{1}{4} z^{-1} + \frac{1}{4} z^{-2} + \frac{1}{4} z^{-3}$$

$$H(z) = \frac{z^3 + z^2 + z + 1}{4z^3}$$

Conclusão: todos os polos dos filtros FIR estão situados na origem do plano Z, portanto **TODO** filtro FIR é BIBO estável!

Grupo de Pesquisa em Prototipagem Rápida de Soluções para Comunicação.

© Prof. Dr. Vicente Angelo de Sousa Junior @ GppCom - UFRN
vicente.sousa@ct.ufrn.br

20

Filtros IIR - Infinite Impulsional Response

- Não é necessariamente estável BIBO;
- Utiliza recursividade: as saídas atuais dependem de saídas passadas;
- **Representado matematicamente como:**

$$y[n] = \sum_{k=0}^{\infty} h[k]x[n-k] = \sum_{k=0}^N b_k x[n-k] - \sum_{k=0}^M a_k y[n-k]$$

a_k e b_k são os coeficientes do filtro IIR;

- Sua função de transferência é:

$$H(z) = \frac{Y(z)}{X(z)} = \frac{\sum_{k=0}^N b_k z^{-k}}{1 + \sum_{k=0}^M a_k z^{-k}}$$

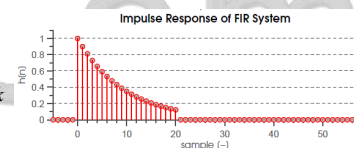
21

Filtros FIR vs IIR

- **Filtros FIR**

$$y[n] = \sum_{k=0}^N h[k]x[n-k]$$

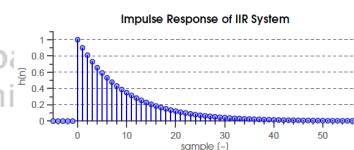
$$H(z) = \sum_{k=0}^N h[k]z^{-k} = \frac{\sum_{k=0}^N h[k]z^{N-k}}{z^N}$$



- **Filtros IIR**

$$y[n] = \sum_{k=0}^N h[k]x[n-k] = \sum_{k=0}^N b_k x[n-k] + \sum_{k=0}^M a_k y[n-k]$$

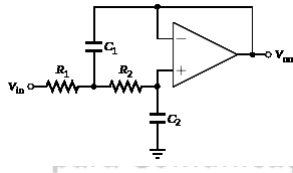
$$H(z) = \frac{Y(z)}{X(z)} = \frac{\sum_{k=0}^N b_k z^{-k}}{1 + \sum_{k=0}^M a_k z^{-k}}$$



22

Filtros IIR

- Possui zeros e polos;
- Normalmente são obtidos a partir de estruturas analógicas, utilizando-se a conversão AD;
 - Transformar filtros analógicos bem conhecidos em filtros digitais;
- Protótipos largamente usados na prática: Butterworth, Chebyshev (tipo I e II) e elíptico;

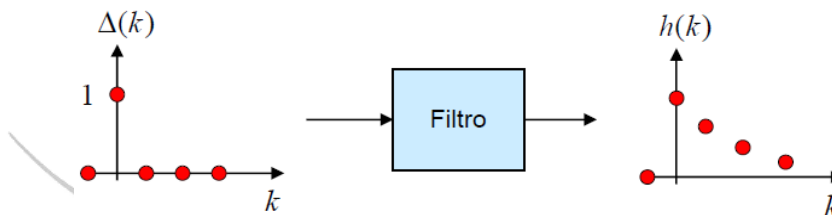


© Prof. Dr. Vicente Angelo de Sousa Junior @ GppCom - UFRN
vicente.sousa@ct.ufrn.br

23

Filtros IIR – Infite Impulsional Response

$$h(k) = 0,8^k$$



Grupo de Pesquisa em Prototipagem Rápida de Soluções para Comunicação.

© Prof. Dr. Vicente Angelo de Sousa Junior @ GppCom - UFRN
vicente.sousa@ct.ufrn.br

24

Filtros IIR – Infite Impulsional Response

- Exemplo: Filtro Recursivo

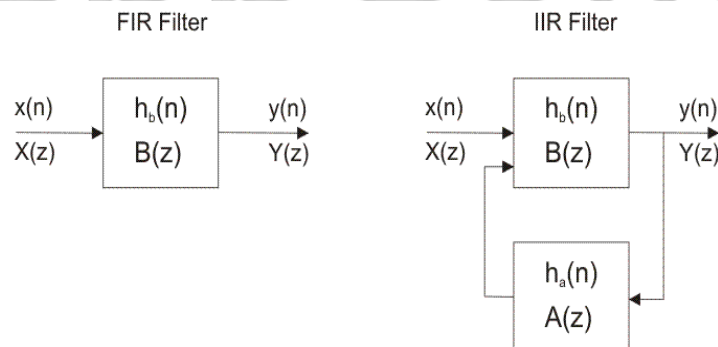
$$H(z) = \frac{z}{z - 0,8} \quad \rightarrow \quad H(z^{-1}) = \frac{1}{1 - 0,8z^{-1}}$$

$$y(k) = x(k) + 0,8y(k-1)$$

- Conclusão:** A equação exibe natureza recursiva, ou seja, **a saída depende de saídas anteriores**. Filtros cuja resposta ao impulso apresenta duração infinita.

Filtros FIR x IIR

- Estrutura



Projeto de Filtros Digitais

- **Consistem em:**
 - Determinar a **sequência de resposta ao impulso** (ou função de transferência) **que atenda** (pelo menos de modo aproximado) às especificações da **resposta em frequência necessária para uma dada aplicação**;
 - Filtros ideais não são realizáveis digitalmente, pois apresentam comprimento infinito (e são não-causais);
- Estratégias clássicas de projetos de filtros:
 - **Filtros FIR:** truncamento da resposta ao impulso dos filtros ideais + janelamento;
 - **Filtros IIR:** mapear para o domínio z funções de transferência de filtros analógicos.

© Prof. Dr. Vicente Angelo de Sousa Junior @ GppCom - UFRN
vicente.sousa@ct.ufrn.br

27

Projetos de Filtros FIR

- Projeto usando janela
 - **Passo 01:** selecionar um filtro seletor de frequências ideal apropriado (quase sempre não-causal e de resposta ao impulso infinita);
 - **Passo 02:** truncar sua resposta ao impulso em uma janela para obter um filtro FIR causal e de fase linear.
- Escolha um filtro de comprimento M e uma função janela $w[n]$ para estreitar a largura do lóbulo principal e a diminuir a atenuação nos lóbulos laterais o máximo possível

$$h(n) = h_d(n)w(n)$$

Grupo de Pesquisa em Processamento Rápido de Soluções para Comunicação.

© Prof. Dr. Vicente Angelo de Sousa Junior @ GppCom - UFRN
vicente.sousa@ct.ufrn.br

28

Filtros ideais

$$h(n) = h_d(n)w(n)$$

Filter type	Magnitude response $ H(e^{j\omega}) $	Impulse response $h(n)$
Lowpass	$\begin{cases} 1, & \text{for } 0 \leq \omega \leq \omega_c \\ 0, & \text{for } \omega_c < \omega \leq \pi \end{cases}$	$\begin{cases} \frac{\omega_c}{\pi}, & \text{for } n = 0 \\ \frac{1}{\pi n} \sin(\omega_c n), & \text{for } n \neq 0 \end{cases}$
Highpass	$\begin{cases} 0, & \text{for } 0 \leq \omega < \omega_c \\ 1, & \text{for } \omega_c \leq \omega \leq \pi \end{cases}$	$\begin{cases} 1 - \frac{\omega_c}{\pi}, & \text{for } n = 0 \\ -\frac{1}{\pi n} \sin(\omega_c n), & \text{for } n \neq 0 \end{cases}$
Bandpass	$\begin{cases} 0, & \text{for } 0 \leq \omega < \omega_{c1} \\ 1, & \text{for } \omega_{c1} \leq \omega \leq \omega_{c2} \\ 0, & \text{for } \omega_{c2} < \omega \leq \pi \end{cases}$	$\begin{cases} \frac{\omega_{c2} - \omega_{c1}}{\pi}, & \text{for } n = 0 \\ \frac{1}{\pi n} [\sin(\omega_{c2} n) - \sin(\omega_{c1} n)], & \text{for } n \neq 0 \end{cases}$
Bandstop	$\begin{cases} 1, & \text{for } 0 \leq \omega \leq \omega_{c1} \\ 0, & \text{for } \omega_{c1} < \omega < \omega_{c2} \\ 1, & \text{for } \omega_{c2} \leq \omega \leq \pi \end{cases}$	$\begin{cases} 1 - \frac{\omega_{c2} - \omega_{c1}}{\pi}, & \text{for } n = 0 \\ \frac{1}{\pi n} [\sin(\omega_{c1} n) - \sin(\omega_{c2} n)], & \text{for } n \neq 0 \end{cases}$

© Prof. Dr. Vicente Angelo de Sousa Junior @ GppCom - UFRN
vicente.sousa@ct.ufrn.br

29

Janelas

$$h(n) = h_d(n)w(n)$$

Rectangular	$w(n) = \begin{cases} 1 & 0 \leq n \leq N \\ 0 & \text{else} \end{cases}$
Hanning ¹	$w(n) = \begin{cases} 0.5 - 0.5 \cos\left(\frac{2\pi n}{N}\right) & 0 \leq n \leq N \\ 0 & \text{else} \end{cases}$
Hamming	$w(n) = \begin{cases} 0.54 - 0.46 \cos\left(\frac{2\pi n}{N}\right) & 0 \leq n \leq N \\ 0 & \text{else} \end{cases}$
Blackman	$w(n) = \begin{cases} 0.42 - 0.5 \cos\left(\frac{2\pi n}{N}\right) + 0.08 \cos\left(\frac{4\pi n}{N}\right) & 0 \leq n \leq N \\ 0 & \text{else} \end{cases}$

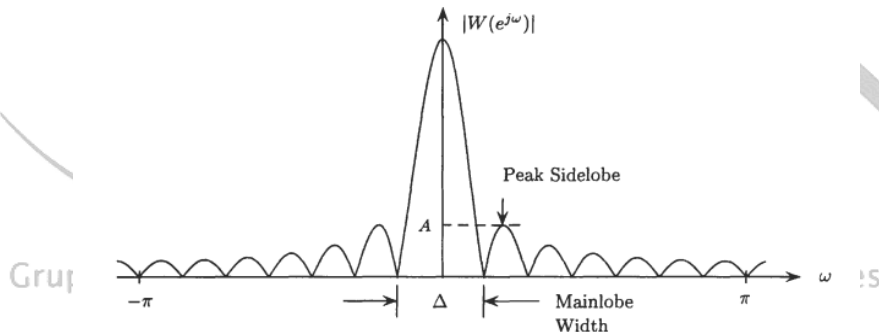
Window	Side-Lobe Amplitude (dB)	Transition Width (Δf)	Stopband Attenuation (dB)
Rectangular	-13	$0.9/N$	-21
Hanning	-31	$3.1/N$	-44
Hamming	-41	$3.3/N$	-53
Blackman	-57	$5.5/N$	-74

© Prof. Dr. Vicente Angelo de Sousa Junior @ GppCom - UFRN
vicente.sousa@ct.ufrn.br

30

Efeitos da janela

- **Largura do *mainlobe*:** diminui com o tamanho N da janela;
- ***Peak side-lobe*:** determinado pelo formato da janela e não tem relação com o tamanho da mesma;
- **Não tem almoço grátis:** diminuir o *peak side-lobe*, aumenta com a largura do *mainlobe*.



© Prof. Dr. Vicente Angelo de Sousa Junior @ GppCom - UFRN
vicente.sousa@ct.ufrn.br

31

Projetos de Filtros IIR

- **Passo 01:** Projetar FPB analógicos (protótipos);
- **Passo 02:** Aplicar transformações no filtro para obter FPB (transformação bilinear).
 - mapear o semi-plano s (Laplace) esquerdo no interior do ciclo unitário do plano z
 - **lembre:** a transformada z é o equivalente da transformada de Laplace para sistemas discretos (versão discreta da transformada de Laplace);
- Protótipos largamente usados na prática: Butterworth, Chebyshev (tipo I e II) e elíptico.

Grupo de Pesquisa em Prototipagem Rápida de Soluções para Comunicação.

© Prof. Dr. Vicente Angelo de Sousa Junior @ GppCom - UFRN
vicente.sousa@ct.ufrn.br

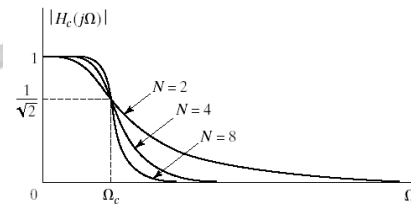
32

Filtro de Butterworth

- A principal característica desse filtro é que a **resposta em magnitude é plana (flat) na banda de passagem e de corte**;
- A resposta quadrática de magnitude de um FPB de N-ésima ordem é dada por:

$$|H_c(j\Omega)|^2 = \frac{1}{1 + (j\Omega / j\Omega_c)^{2N}}$$

sendo N é a ordem do filtro e Ω_c é a frequência de corte.

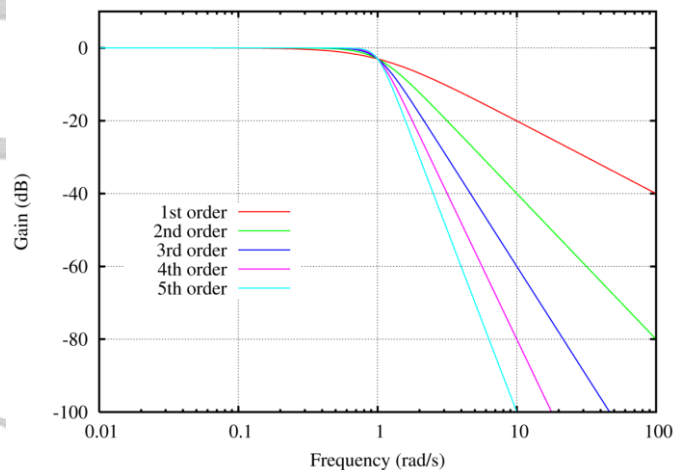


Grupo de Pesquisa em Prototipagem Rápida de Soluções para Comunicação.

© Prof. Dr. Vicente Angelo de Sousa Junior @ GppCom - UFRN
vicente.sousa@ct.ufrn.br

33

Filtro de Butterworth



Quanto maior a ordem, menor a região de transição.

Grupo de Pesquisa em Prototipagem Rápida de Soluções para Comunicação.

© Prof. Dr. Vicente Angelo de Sousa Junior @ GppCom - UFRN
vicente.sousa@ct.ufrn.br

34

Filtro de Chebyshev

- Tenta **minimizar a diferença** entre as **resposta real e ideal** do filtro na banda de passagem **ou** rejeição;
- Para as mesma especificações, necessita de uma ordem menor do que os filtros Butterworth, contudo oscilam mais;
- Possui dois tipos:

- **Tipo 1:** Ondulação na banda de passagem e monotônico na banda de rejeição;

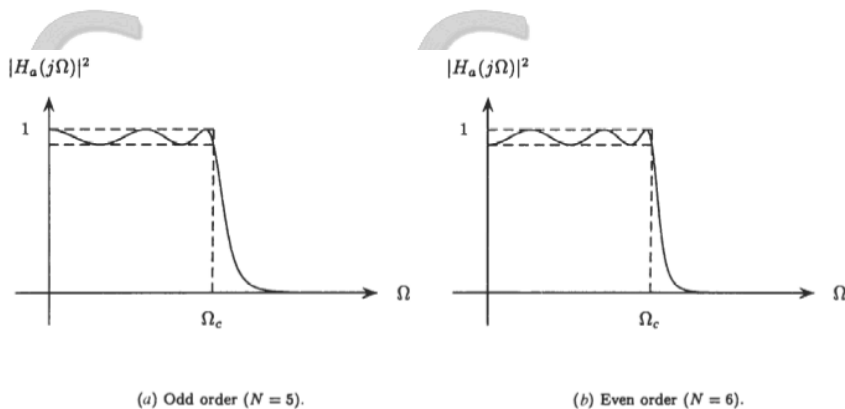
$$|H_c(j\Omega)|^2 = \frac{1}{1 + \varepsilon^2 V_N^2(\Omega/\Omega_c)} \quad \varepsilon \text{ é o fator de ondulação da banda de passagem}$$

- **Tipo 2:** Ondulação na banda de rejeição e monotônico na banda de passagem.

$$|H_c(j\Omega)|^2 = \frac{1}{1 + [\varepsilon^2 V_N^2(\Omega/\Omega_c)]^{-1}} \quad V(x) = \begin{cases} \cos(N \cos^{-1}(x)), & 0 \leq x \leq 1 \\ \cosh(N \cosh^{-1}(x)), & 1 \leq x \leq \infty \end{cases}$$

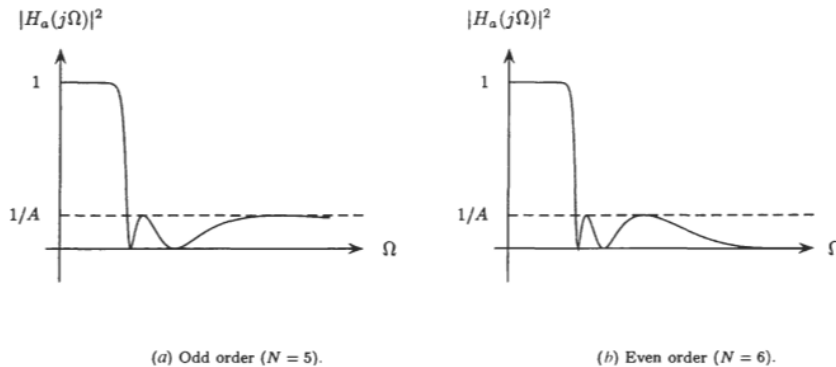
35

Filtro Chebyshev – Tipo 1



Grupo de Pesquisa em Prototipagem Rápida de Soluções para Comunicação.

Filtro Chebyshev – Tipo 2



Grupo de Pesquisa em Prototipagem Rápida de Soluções para Comunicação.

© Prof. Dr. Vicente Angelo de Sousa Junior @ GppCom - UFRN
vicente.sousa@ct.ufrn.br

37

Filtro Elíptico

- É um filtro **com ripple** na **banda passante** e na **banda de rejeição**. Isto significa que ele **minimiza o erro máximo em ambas as bandas**, ao contrário do Chebyshev;
- **São filtros mais complexos de projetar**, exigindo um maior custo computacional, porém obtém o melhor desempenho para aplicações de filtros IIR;
- A magnitude da resposta em frequência é dada por:

$$G_n(\omega) = |H_n(j\omega)| = \frac{1}{\sqrt{1 + \epsilon^2 R_n^2(\omega)}}$$

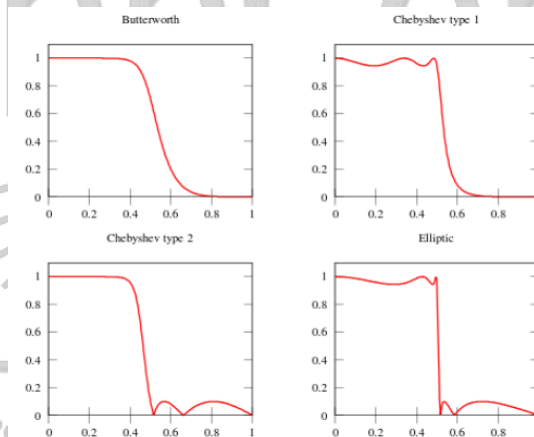
sendo R_n é a função racional de Chebyshev da ordem n .

© Prof. Dr. Vicente Angelo de Sousa Junior @ GppCom - UFRN
vicente.sousa@ct.ufrn.br

38

Filtro Elíptico

- Resposta em frequência do filtro elíptico comparado com os outros filtros, para o mesmo número de Taps:



O filtro elíptico possui a queda mais acentuada.

© Prof. Dr. Vicente Angelo de Sousa Junior @ GppCom - UFRN
vicente.sousa@ct.ufrn.br

39

Bibliografia

- [1] Modern Communication Systems Using MATLAB, Third International Edition- John G. Proakis, Masoud Selehi, Gerhard Bauch
- [2]http://www.univasf.edu.br/~edmar.nascimento/topicos1/com_digital_aula02.pdf
- [3] Schaum's Outline of Theory and Problems of Digital Signal Processing – M. Hayes
- [4] <http://www.ece.ufrgs.br/~eng04006/aulas/aula24.pdf>
- [] Técnicas de Projeto de Filtros IIR, Carlos Alexandre Mello, http://www.cin.ufpe.br/~cabm/pds/PDS_Aula05%20Projeto%20de%20Filtros%20IIR.pdf

© Prof. Dr. Vicente Angelo de Sousa Junior @ GppCom - UFRN
vicente.sousa@ct.ufrn.br

40

Sobre o GppCom

- A meta do GppCom é criar na UFRN um ambiente de P&D&I através de prototipagem rápida baseada em simulação via software e hardware nas áreas de sistemas de comunicação e processamento digital de sinais e imagens. O Grupo é formado pelos professores: Vicente Angelo de Sousa Junior (coordenador), Luiz Gonzaga de Queiroz Silveira Junior (vice-coordenador), Luiz Felipe de Queiroz Silveira, Marcio Eduardo da Costa Rodrigues, Adaildo Gomes D'Assunção (pesquisador associado), Cláudio Rodrigues Muniz da Silva (pesquisador associado), Cristhianne de Fátima Linhares de Vasconcelos (pesquisador associado). O GppCom está de portas abertas para novas parcerias, [conheça o portfólio do grupo](#).

Grupo de Pesquisa em Prototipagem Rápida de Soluções
para Comunicação.